

Магнитопроводимость щелевой модификации графена

© С.В. Крючков^{1,2}, Е.И. Кухарь¹

¹ Волгоградский государственный педагогический университет,
Волгоград, Россия

² Волгоградский государственный технический университет,
Волгоград, Россия

E-mail: eikuhar@yandex.ru

(Поступила в Редакцию 12 апреля 2011 г.
В окончательной редакции 15 июня 2011 г.)

Исследовано влияние магнитного поля на проводимость щелевой модификации графена. В случае некантованного поля на основе уравнения Больцмана определены зависимости проводимости и холловской проводимости графена от напряженности магнитного поля. В борновском приближении по потенциалу рассеяния на акустических фононах получена формула для проводимости графена, помещенного в квантовое магнитное поле при низких температурах. Показано, что в этом случае зависимость проводимости от напряженности магнитного поля имеет характер осцилляций.

Работа поддержана грантом РФФИ № 10-02-97001-р_поволжье_a и проводилась в рамках программы „Развитие научного потенциала высшей школы“.

1. Введение

Развитие микро- и наноэлектроники непрерывно требует поиска новых материалов и структур. В настоящее время исследователей привлекает изучение электронных свойств графена (монослоя углерода), полученного в лаборатории относительно недавно [1]. Повышенный интерес к электронным свойствам графена в настоящее время связан со следующим. Во-первых, экспериментально показано [1], что длина свободного пробега электрона в графене имеет порядок микрометра. Этот факт позволяет использовать графен для создания микрометровых приборов, работающих в баллистическом режиме. Высокая электрическая проводимость делает графен перспективным материалом для использования в наноэлектронике наряду с углеродными нанотрубками [2]. На его основе уже разработаны образцы полевых транзисторов и ряд других электронных приборов [3,4].

Во-вторых, этот материал обладает рядом необычных свойств, обусловленных особенностями его зонной структуры [5–7]. Непараболичность и неаддитивность электронного спектра графена дает возможность для проявления ряда нелинейных кинетических эффектов в этом материале [8–11]. Кроме того, для бесщелевой модификации графена вблизи так называемых дираковских точек зоны Бриллюэна закон дисперсии линейен по абсолютной величине квазиимпульса, что соответствует безмассовым частицам [7]. Этот факт дает, кроме всего прочего, возможность использовать графен для проверки релятивистских эффектов. Если графеновый лист помещен на подложку (например SiC), то возникает запрещенная зона — так называемая щелевая модификация графена [12–14].

В последнее время активно ведутся теоретические и экспериментальные исследования влияния внешних

полей различной конфигурации на транспортные свойства графена [15–23]. В [15] теоретически исследованы осцилляции проводимости графена в пространственно-модулированном магнитном поле. Теория электронного транспорта носителей заряда с дираковским спектром в слабом магнитном поле, учитывающая рассеяние на заряженных примесях, построена в [16]. В [17–23] изучены магнитные осцилляционные эффекты в структурах на основе графена. Влияние магнитного поля на высокочастотную проводимость графена и на поглощение графеном электромагнитного излучения исследованы в [20–23]. Квантовая теория осцилляций поперечной магнитопроводимости (эффект Шубникова–де Гааза) в двумерной системе с дираковским спектром дана в [19].

В настоящей работе исследована зависимость проводимости щелевой модификации графена от напряженности магнитного поля. Электронный спектр щелевой модификации графена можно записать в виде [14]

$$\varepsilon(\mathbf{p}) = \pm \sqrt{\Delta^2 + v_F^2 p^2}, \quad (1)$$

где \mathbf{p} — квазиимпульс с компонентами $\{p_x, p_y\}$, Δ — полуширина запрещенной зоны, v_F — скорость на поверхности Ферми. В дальнейшем будем рассматривать низкие температуры ($\theta \sim 0.001–0.01$ eV), значительно меньшие ширины запрещенной зоны ($2\Delta = 0.26$ eV). В этом случае процессы перехода электронов из валентной зоны в зону проводимости маловероятны, валентная зона полностью заполнена, и вклад в проводимость дают только электроны зоны проводимости. При этом в законе дисперсии (1) оставим только знак +. Считаем, что графен, расположенный в плоскости xu , помещен в скрещенные магнитное и электрическое поля таким образом, что напряженность магнитного поля \mathbf{H} направлена перпендикулярно графеновой плоскости, а напряженность электрического поля \mathbf{E} — вдоль оси Ox .

2. Влияние некантующего магнитного поля на проводимость щелевой модификации графена

Рассмотрим случай некантующего магнитного поля

$$\frac{\hbar v_F}{a_H} \leq \theta, \quad (2)$$

где θ — температура электронного газа, выраженная в энергетических единицах, $a_H = \sqrt{c\hbar/eH}$ — ларморовский радиус. Для $\theta \sim 0$, 01 eV условию (2) соответствует напряженность магнитного поля $H < 1$ Т. Вектор плотности электрического тока, возникающего в графене в описанных выше условиях, рассчитывается по формуле

$$\mathbf{j} = -e \sum_{\mathbf{p}} \mathbf{V}(\mathbf{p}) f(\mathbf{p}, t), \quad (3)$$

где \mathbf{V} — скорость электрона, определяемая выражением

$$\mathbf{V} = \frac{v_F^2 \mathbf{p}}{\sqrt{\Delta^2 + v_F^2 p^2}}. \quad (4)$$

Неравновесная функция распределения $f(\mathbf{p}, t)$, входящая в (3), определяется из уравнения Больцмана, записанного в приближении постоянного времени релаксации τ

$$\frac{\partial f}{\partial t} - e \left(\mathbf{E} + \frac{1}{c} [\mathbf{V}, \mathbf{H}] \right) \frac{\partial f}{\partial \mathbf{p}} = -\frac{f - f_0}{\tau}. \quad (5)$$

Решением кинетического уравнения является функция

$$f(\mathbf{p}, t) = \frac{1}{\tau} \int_{-\infty}^t e^{-\frac{t-t'}{\tau}} f_0(\mathbf{p}'(\mathbf{p}, t, t')) dt', \quad (6)$$

где $f_0(\mathbf{p})$ — равновесная функция распределения. Импульс электрона $\mathbf{p}'(t')$ удовлетворяет классическому уравнению движения

$$\frac{d\mathbf{p}'}{dt'} = -e \left(\mathbf{E} + \frac{1}{c} [\mathbf{V}', \mathbf{H}] \right) \quad (7)$$

с начальным условием $\mathbf{p}'(t) = \mathbf{p}$. Решение уравнения (7) в проекциях на координатные оси имеет вид

$$p_x = p'_x - eE_x(t-t') - \frac{eH}{c} \int_{t'}^t V'_y dt_1, \\ p_y = p'_y + \frac{eH}{c} \int_{t'}^t V'_x dt_1. \quad (8)$$

Решая уравнения (8) итерациями по малому параметру $v_F/c \ll 1$, получаем в линейном приближении по напряженности электрического поля

$$p_x = p'_x - \frac{ev_F^2 H p'_y(t-t')}{c\sqrt{\Delta^2 + v_F^2 p'^2}} - \left(1 + \frac{eHv_F^4 p'_x p'_y(t-t')}{2c(\Delta^2 + v_F^2 p'^2)^{3/2}} \right) eE_x(t-t'), \quad (9)$$

$$p_y = p'_y + \frac{ev_F^2 H p'_x(t-t')}{c\sqrt{\Delta^2 + v_F^2 p'^2}} + \frac{ev_F^2 H(t-t')}{2c\sqrt{\Delta^2 + v_F^2 p'^2}} \left(\frac{v_F^2 p'^2}{\Delta^2 + v_F^2 p'^2} - 1 \right) eE_x(t-t'). \quad (10)$$

Введем следующие обозначения:

$$a_1 = p'_x - \frac{ev_F^2 H p'_y(t-t')}{c\sqrt{\Delta^2 + v_F^2 p'^2}}, \quad b_1 = -\frac{eHv_F^4 p'_x p'_y(t-t')}{2c(\Delta^2 + v_F^2 p'^2)^{3/2}}, \\ a_2 = p'_y + \frac{ev_F^2 H p'_x(t-t')}{c\sqrt{\Delta^2 + v_F^2 p'^2}}, \\ b_2 = -\frac{ev_F^2 H(t-t')(\Delta^2 + v_F^2 p'^2)}{2c(\Delta^2 + v_F^2 p'^2)^{3/2}}. \quad (11)$$

Подставляя (9) и (10) в (4), определяем проекции скорости электрона в линейном приближении по E_x

$$V_x = v_F^2 \left(\frac{a_1}{\sqrt{\Delta^2 + v_F^2 a_1^2 + v_F^2 a_2^2}} - \frac{v_F^2 a_1^2 (b_1 - 1) + v_F^2 a_1 a_2 b_2}{(\Delta^2 + v_F^2 a_1^2 + v_F^2 a_2^2)^{3/2}} \right) \times eE_x(t-t') + \frac{(b_1 - 1)eE_x(t-t')}{\sqrt{\Delta^2 + v_F^2 a_1^2 + v_F^2 a_2^2}}, \quad (12)$$

$$V_y = v_F^2 \left(\frac{a_2}{\sqrt{\Delta^2 + v_F^2 a_1^2 + v_F^2 a_2^2}} - \frac{v_F^2 a_1 a_2 (b_1 - 1) + v_F^2 a_2^2 b_2}{(\Delta^2 + v_F^2 a_1^2 + v_F^2 a_2^2)^{3/2}} \right) \times eE_x(t-t') + \frac{b_2 eE_x(t-t')}{\sqrt{\Delta^2 + v_F^2 a_1^2 + v_F^2 a_2^2}}. \quad (13)$$

Подставляя (6), (12) и (13) в (3) и учитывая, что a_1 , a_2 , b_1 — нечетные функции p'_x и p'_y , получаем для компонент плотности тока следующие выражения:

$$j_x = -\frac{e^2 v_F^4 E_x}{\tau} \int_{-\infty}^t dt' e^{-\frac{t-t'}{\tau}} (t-t') \sum_{\mathbf{p}'} f_0(\mathbf{p}') \times \left(\frac{1}{\sqrt{\Delta^2 + v_F^2 (a_1^2 + a_2^2)}} - \frac{(a_1^2 (b_1 - 1) + a_1 a_2 b_2)}{(\Delta^2 + v_F^2 (a_1^2 + a_2^2))^{3/2}} \right), \quad (14)$$

$$j_y = -\frac{e^2 v_F^2 E_x}{\tau} \int_{-\infty}^t dt' e^{-\frac{t-t'}{\tau}} (t-t') \sum_{\mathbf{p}'} f_0(\mathbf{p}') \times \left(\frac{b_2}{\sqrt{\Delta^2 + v_F^2 (a_1^2 + a_2^2)}} - \frac{v_F^2 (a_1 a_2 (b_1 - 1) + a_2^2 b_2)}{(\Delta^2 + v_F^2 (a_1^2 + a_2^2))^{3/2}} \right). \quad (15)$$

Подставляя в (14) и (15) формулы (11), вводя безразмерные переменные $x = (t - t')/\tau$, $\mathbf{q} = v_F \mathbf{p}/\Delta$ и обозначая $H_0 = c\Delta/ev_F^2\tau$, преобразуем выражения для компонент плотности тока

$$j_x = \frac{e^2 v_F^2 E_x \tau}{\Delta} \int_0^\infty x e^{-x} dx \sum_{\mathbf{p}} f_0(\mathbf{p}) \left(1 + q^2 \times \left(1 + \frac{H^2 x^2}{H_0^2 (1 + q^2)} \right) \right)^{-3/2} \left(1 + q^2 \left(1 + \frac{H^2 x^2}{H_0^2 (1 + q^2)} \right) + q_x^2 + \frac{(q_x^2 - q_y^2 - q_x^2 q_y^2 - q_y^4) H^2 x^2}{2H_0^2 (1 + q^2)^2} \right), \quad (16)$$

$$j_y = \frac{e^2 v_F^2 E_x \tau}{\Delta} \frac{H}{H_0} \int_0^\infty x^2 e^{-x} dx \sum_{\mathbf{p}} f_0(\mathbf{p}) \times \left(1 + q^2 \left(1 + \frac{H^2 x^2}{H_0^2 (1 + q^2)} \right) \right)^{-3/2} \times \left(\frac{H_0^2 (1 + q^2 + 2q_y^2 + 2q_y^4 - 2q_x^2 - 2q_x^4) + H^2 x^2 q_y^2}{2H_0^2 (1 + q^2)^{3/2}} \right). \quad (17)$$

В случае температур, удовлетворяющих условию (2), электронный газ можно считать невырожденным. Поэтому равновесную функцию распределения $f_0(\mathbf{p})$ выберем в виде функции Больцмана

$$f_0(\mathbf{p}) = A_1 e^{-\frac{\varepsilon(\mathbf{p})}{\theta}}, \quad (18)$$

где A_1 — константа, определяемая из условия нормировки

$$\sum_{\mathbf{p}} f_0(\mathbf{p}) = n_0, \quad (19)$$

n_0 — поверхностная концентрация свободных носителей заряда. Заменяем в (16), (17) и (19) суммирование по импульсам \mathbf{p} интегрированием в полярных координатах

$$\sum_{\mathbf{p}} \rightarrow \frac{S}{(2\pi\hbar)^2} \iint dp_x dp_y = \frac{S}{(2\pi\hbar)^2} \frac{\Delta^2}{v_F^2} \iint dq_x dq_y.$$

В результате получим следующие выражения для проекций плотности тока:

$$j_x = \frac{n_0 e^2 v_F^2 E_x \tau}{4\theta(1 + \theta/\Delta)} \int_0^\infty x e^{-x} dx \int_0^\infty e^{-\frac{\theta}{\theta}(\sqrt{1+y}-1)} \times \left(1 + y \left(1 + \frac{H^2 x^2}{H_0^2 (1 + y)} \right) \right)^{-3/2} \times \left(2 + 3y + \frac{(4 + 3y)y H^2 x^2}{2H_0^2 (1 + y)} \right) dy, \quad (20)$$

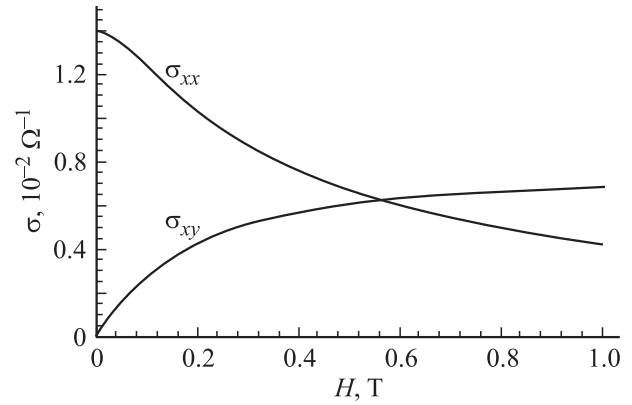


Рис. 1. Зависимость проводимости σ_{xx} и холловской проводимости σ_{xy} от индукции магнитного поля.

$$j_y = \frac{n_0 e^2 v_F^2 E_x \tau}{4\theta(1 + \theta/\Delta)} \frac{H}{H_0} \int_0^\infty x^2 e^{-x} dx \times \int_0^\infty e^{-\frac{\theta}{\theta}(\sqrt{1+y}-1)} \left(1 + y \left(1 + \frac{H^2 x^2}{H_0^2 (1 + y)} \right) \right)^{-3/2} \times \left(\frac{2H_0^2 (1 + y) + H^2 x^2 y}{2H_0^2 (1 + y)^{3/2}} \right) dy. \quad (21)$$

Компоненты тензора проводимости определяются из формул $j_x = \sigma_{xx} E_x$, $j_y = \sigma_{xy} E_x$. Следовательно, магнитопроводимость графена равна

$$\sigma_{xx} = \sigma_0 \int_0^\infty x e^{-x} dx \int_0^\infty e^{-\frac{\theta}{\theta}(\sqrt{1+y}-1)} \times \left(1 + y \left(1 + \frac{H^2 x^2}{H_0^2 (1 + y)} \right) \right)^{-3/2} \times \left(2 + 3y + \frac{(4 + 3y)y H^2 x^2}{2H_0^2 (1 + y)} \right) dy. \quad (22)$$

Холловская проводимость имеет вид

$$\sigma_{xy} = \sigma_0 \frac{H}{H_0} \int_0^\infty x^2 e^{-x} dx \int_0^\infty e^{-\frac{\theta}{\theta}(\sqrt{1+y}-1)} \times \left(1 + y \left(1 + \frac{H^2 x^2}{H_0^2 (1 + y)} \right) \right)^{-3/2} \times \left(\frac{2H_0^2 (1 + y) + H^2 x^2 y}{2H_0^2 (1 + y)^{3/2}} \right) dy. \quad (23)$$

где $\sigma_0 = n_0 e^2 v_F^2 \tau / 4\theta(1 + \theta/\Delta)$.

Зависимости компонент тензора проводимости от напряженности магнитного поля исследованы численно на ЭВМ. Графики зависимости проводимости от индукции магнитного поля, построенные по формулам (22)

и (23) для следующих значений параметров [1,12,17,18]: $n_0 = 10^{12} \text{ см}^{-2}$, $\Delta = 0.13 \text{ eV}$, $\theta = 0.01 \text{ eV}$, $\tau = 10^{-12} \text{ с}$, $v_F = 10^8 \text{ см/с}$, показаны на рис. 1. В случае слабых магнитных полей ($H \ll H_0 \sim 0.1 \text{ Т}$) формулы (22) и (23) можно приближенно записать в виде

$$\sigma_{xx} = \frac{n_0 e^2 v_F^2 \tau}{\Delta} \left(1 - \left(1 + \frac{6e^2 v_F^4 \tau^2}{c^2 \Delta^2} H^2 \right) \frac{\theta}{\Delta} \right), \quad (24)$$

$$\sigma_{xy} = \frac{n_0 e^3 v_F^4 \tau^2}{2c \Delta^2} H \left(1 - 3 \left(1 + \frac{4e^2 v_F^4 \tau^2}{c^2 \Delta^2} H^2 \right) \frac{\theta}{\Delta} \right). \quad (25)$$

3. Осцилляции поперечной проводимости щелевой модификации графена в квантующем магнитном поле

Определим магнитопроводимость графена в случае квантующего магнитного поля и низких температур

$$\theta \ll \frac{\hbar v_F}{a_H}, \quad \alpha \ll \frac{\hbar v_F}{a_H}, \quad (26)$$

где α — феноменологически введенная ширина уровня Ландау, связанная с неоднородностями решетки. Если $\alpha \sim \theta \sim 10^{-3} \text{ eV}$, то условия (26) соответствуют магнитным полям, для которых $H \gg 10^{-3} \text{ Т}$. В [19], где исследован эффект Шубникова–де Гааза в двумерной системе с дираковским спектром, предполагалось, что уровни Ландау имеют конечную ширину α , связанную с рассеянием носителей заряда на неоднородностях решетки. Однако параметр α вводился в [19] феноменологически. Ниже получено выражение для поперечной магнитопроводимости щелевой модификации графена с учетом упругого рассеяния электронов проводимости на акустических фононах, которое при определенных условиях не зависит от величины уширения уровней Ландау α .

В случае, когда графен помещен во внешнее магнитное поле, напряженность \mathbf{H} которого перпендикулярна плоскости графена, гамильтониан имеет вид

$$\hat{H}_0 = \hbar v_F \begin{pmatrix} \frac{\Delta}{\hbar v_F} & -i \frac{\partial}{\partial x} - \frac{\partial}{\partial y} - i \frac{x}{a_H^2} \\ -i \frac{\partial}{\partial x} + \frac{\partial}{\partial y} + i \frac{x}{a_H^2} & -\frac{\Delta}{\hbar v_F} \end{pmatrix}. \quad (27)$$

Собственными функциями гамильтониана (27) являются

$$\psi_{nk}(x, y) \equiv |kn\rangle = \frac{1}{\sqrt{2La_H}} e^{iky} \begin{pmatrix} \Phi_{n+1} \left(\frac{x-x_k}{a_H} \right) \\ \Phi_n \left(\frac{x-x_k}{a_H} \right) \end{pmatrix}, \quad (28)$$

где $\Phi_n(z)$ — функция гармонического осциллятора, k — проекция волнового вектора электрона на ось Oy , $x_k = -ka_H^2$, $n = 0, 1, 2, \dots, L$ — линейный размер графена. Собственные значения энергии электрона имеют

вид

$$\varepsilon_n = \sqrt{\Delta^2 + \frac{2\hbar^2 v_F^2 n}{a_H^2}}. \quad (29)$$

Так как закон дисперсии (1) зависит только от $|\mathbf{p}|$, то для поперечной магнитопроводимости справедлива формула Титейка [24]

$$\sigma_{xx} = -\frac{\pi e^2}{\hbar} \sum_{nk} \sum_{n'k'} \frac{\partial f}{\partial \varepsilon_n} (x_{k'} - x_k)^2 \times |\langle k'n' | V | kn \rangle|^2 \delta(\varepsilon_{n'} - \varepsilon_n). \quad (30)$$

Пусть электроны в графене рассеиваются на акустических фононах. Тогда потенциал рассеяния можно представить в следующем виде [25]:

$$V(\mathbf{r}) = \sum_{\mathbf{q}} V_{\mathbf{q}} \exp(i\mathbf{q} \cdot \mathbf{r}), \quad (31)$$

где $V_{\mathbf{q}} = \sqrt{\hbar \Lambda^2 q / 2\rho v S}$, \mathbf{q} — волновой вектор акустических фононов, Λ — деформационный потенциал, ρ — поверхностная плотность графена, v — скорость звука в графене, S — площадь образца. После подстановки (31) в (30) получаем

$$\sigma_{xx} = -\frac{\pi e^2}{\hbar} \sum_{nk} \sum_{n'k'} \sum_{\mathbf{q}} V_{\mathbf{q}}^2 \frac{\partial f}{\partial \varepsilon_n} (x_{k'} - x_k)^2 \times |\langle k'n' | e^{i\mathbf{q} \cdot \mathbf{r}} | kn \rangle|^2 \delta(\varepsilon_{n'} - \varepsilon_n). \quad (32)$$

Используя равенство

$$\int_{-\infty}^{+\infty} \Phi_n^2(z) e^{iaz} dz = L_n \left(\frac{a^2}{2} \right) e^{-\frac{a^2}{4}},$$

найдем модуль матричного элемента, входящего в формулу (32), при $n = n'$

$$|\langle k'n | e^{i\mathbf{q} \cdot \mathbf{r}} | kn \rangle| = \left| L_{n+1} \left(\frac{a_H^2 q^2}{2} \right) + L_n \left(\frac{a_H^2 q^2}{2} \right) \right| \exp \left(-\frac{a_H^2 q^2}{4} \right) \delta_{k'k+q_y}, \quad (33)$$

где $L_n(z)$ — полином Лагерра. После подстановки (33) в (32) и вычисления сумм по k и k' получаем

$$\sigma_{xx} = -\frac{e^2 \Lambda^2}{8\sqrt{2}\pi^2 \rho v} \frac{1}{a_H^3} \sum_n \sum_{n'} F_n \frac{\partial f}{\partial \varepsilon_n} \delta(\varepsilon_{n'} - \varepsilon_n), \quad (34)$$

где

$$F_n = \int_0^{\infty} z^{3/2} (L_{n+1}(z) + L_n(z))^2 \exp(-z) dz. \quad (35)$$

Применив к сумме по n' в формуле (34) формулу Пуассона [26], представим проводимость в виде двух слагаемых

$$\sigma_{xx} = \sigma_{xx1} + \sigma_{xx2}, \quad (36)$$

$$\sigma_{xx1} = -\frac{A}{\hbar^2 v_F^2 a_H} \sum_n F_n \varepsilon_n \frac{\partial f}{\partial \varepsilon_n}, \quad (37)$$

$$\sigma_{xx2} = -\frac{2A}{a_H^3} \sum_n F_n \frac{\partial f}{\partial \varepsilon_n} \sum_{\kappa=1}^{\infty} \int_0^{\infty} \cos(2\pi\kappa n') \delta(\varepsilon_{n'} - \varepsilon_n) dn', \quad (38)$$

где введено обозначение $A = e^2 \Lambda^2 / 8 \sqrt{2} \pi^2 \rho v$. Чтобы вычислить слагаемое σ_{xx2} , заменим δ -функцию в (38) на выражение, учитывающее уширение уровней Ландау α

$$\delta(\varepsilon_{n'} - \varepsilon_n) \rightarrow \frac{1}{\pi} \frac{\alpha}{\alpha^2 + (\varepsilon_{n'} - \varepsilon_n)^2}. \quad (39)$$

В этом случае выражение (38) можно переписать в виде

$$\sigma_{xx2} = -\frac{2A}{\pi a_H^3} \sum_n F_n \frac{\partial f}{\partial \varepsilon_n} \sum_{\kappa=1}^{\infty} \int_0^{\infty} \frac{\cos(2\pi\kappa n')}{\alpha^2 + (\varepsilon_{n'} - \varepsilon_n)^2} dn'. \quad (40)$$

В случае низких температур (26) электронный газ является вырожденным, поэтому в качестве $f(\varepsilon)$ в формулах (37) и (40) используем функцию распределения Ферми–Дирака. При низких температурах величина $\partial f / \partial \varepsilon$, входящая в (37) и (40), близка к δ -функции. Поэтому с изменением напряженности магнитного поля H проводимость σ_{xx} испытывает резонанс каждый раз, когда уровень Ландау совпадает с уровнем химического потенциала μ . Таким образом, зависимость проводимости от напряженности магнитного поля имеет характер осцилляций.

Множитель F_n представляет собой медленно меняющуюся функцию n по сравнению с осциллирующей частью в подынтегральном выражении (35), а его численное значение имеет порядок единицы. Преобразуем (37) и (40) к следующему виду:

$$\sigma_{xx1} = -\frac{A}{\hbar^2 v_F^2 a_H} \sum_n \varepsilon_n \frac{\partial f}{\partial \varepsilon_n}, \quad (41)$$

$$\sigma_{xx2} = -\frac{2A\alpha}{\pi a_H^3} \sum_n \frac{\partial f}{\partial \varepsilon_n} \sum_{\kappa=1}^{\infty} \int_0^{\infty} \frac{\cos(2\pi\kappa n')}{\alpha^2 + (\varepsilon_{n'} - \varepsilon_n)^2} dn'. \quad (42)$$

Для вычисления интеграла, входящего в выражение (42) заметим, что наибольший вклад в интегральную сумму дают слагаемые, для которых $\varepsilon_{n'} \sim \varepsilon_n$ или $|\varepsilon_{n'} - \varepsilon_n| \ll \varepsilon_n$. Поэтому формулу (42) приближенно можно записать

$$\sigma_{xx2} = -\frac{2A\alpha}{\pi \hbar^2 v_F^2 a_H} \sum_n \varepsilon_n \frac{\partial f}{\partial \varepsilon_n} \sum_{\kappa=1}^{\infty} \int_{-\infty}^{+\infty} \cos \left[\frac{2\pi\kappa a_H^2 \varepsilon_n}{\hbar^2 v_F^2} \varepsilon + \frac{\pi\kappa a_H^2}{\hbar^2 v_F^2} (\varepsilon_n^2 - \Delta^2) \right] \frac{d\varepsilon}{\alpha^2 + \varepsilon^2}. \quad (43)$$

Используя равенство

$$\int_{-\infty}^{+\infty} \frac{\cos(pz + q) dz}{\alpha^2 + z^2} = \frac{\pi e^{-pa} \cos q}{\alpha},$$

определим

$$\sigma_{xx2} = -\frac{2A\alpha}{\hbar^2 v_F^2 a_H} \sum_n \varepsilon_n \frac{\partial f}{\partial \varepsilon_n} \sum_{\kappa=1}^{\infty} \exp \left(-\frac{2\pi\kappa a_H^2 \varepsilon_n \alpha}{\hbar^2 v_F^2} \right) \times \cos \left[\frac{\pi\kappa a_H^2}{\hbar^2 v_F^2} (\varepsilon_n^2 - \Delta^2) \right]. \quad (44)$$

Применяя в суммах по n в (41) и (44) формулу Пуассона, перепишем

$$\sigma_{xx1} = \frac{A}{4\theta \hbar^2 v_F^2 a_H} \sum_{\kappa=-\infty}^{\kappa=+\infty} \int_0^{\infty} \varepsilon(n) \operatorname{ch}^{-2} \frac{\varepsilon(n) - \mu}{2\theta} e^{2\pi i \kappa n} dn, \quad (45)$$

$$\sigma_{xx2} = \frac{A}{2\theta \hbar^2 v_F^2 a_H} \sum_{\kappa'=-\infty}^{\kappa'=+\infty} \int_0^{\infty} \varepsilon(n) \operatorname{ch}^{-2} \frac{\varepsilon(n) - \mu}{2\theta} e^{2\pi i \kappa' n} dn \times \sum_{\kappa=1}^{\infty} \exp \left(-\frac{2\pi\kappa a_H^2 \varepsilon(n) \alpha}{\hbar^2 v_F^2} \right) \cos \left[\frac{\pi\kappa a_H^2}{\hbar^2 v_F^2} (\varepsilon^2(n) - \Delta^2) \right]. \quad (46)$$

Отметим, что наибольший вклад при низких температурах θ в интегральную сумму дают слагаемые, для которых $\varepsilon_n \sim \mu$. Учитывая также, что $\mu \gg \theta$, выражения (45) и (46) можно приближенно представить в виде

$$\sigma_{xx1} = \frac{A\mu^2 a_H}{2\hbar^4 v_F^4} \sum_{\kappa=-\infty}^{\kappa=+\infty} \exp \left[\frac{\pi i \kappa a_H^2 (\mu^2 - \Delta^2)}{\hbar^2 v_F^2} \right] \times \int_{-\infty}^{+\infty} \exp \left(\frac{4\pi i \kappa \mu \theta a_H^2}{\hbar^2 v_F^2} z \right) \operatorname{ch}^{-2} z dz, \quad (47)$$

$$\sigma_{xx2} = \frac{A\mu^2 a_H}{\hbar^4 v_F^4} \sum_{\kappa'=-\infty}^{\kappa'=+\infty} \exp \left[\frac{\pi i \kappa' a_H^2 (\mu^2 - \Delta^2)}{\hbar^2 v_F^2} \right] \times \int_{-\infty}^{+\infty} \exp \left(\frac{4\pi i \kappa' \mu \theta a_H^2}{\hbar^2 v_F^2} z \right) \operatorname{ch}^{-2} z dz \times \sum_{\kappa=1}^{\infty} \exp \left(-\frac{2\pi\kappa a_H^2 \mu \alpha}{\hbar^2 v_F^2} \right) \cos \left[\frac{\pi\kappa a_H^2}{\hbar^2 v_F^2} (\mu^2 - \Delta^2) \right]. \quad (48)$$

Так как справедливо

$$\int_{-\infty}^{+\infty} e^{iaz} \operatorname{ch}^{-2} z dz = \pi a \operatorname{sh}^{-1} \left(\frac{\pi a}{2} \right),$$

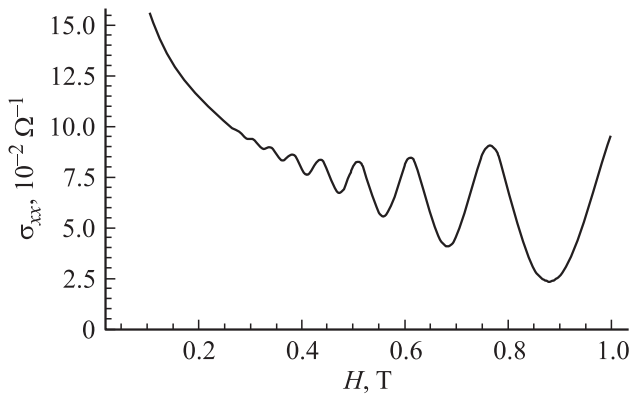


Рис. 2. Зависимость проводимости графена от индукции магнитного поля. $\mu/\Delta = 1.27$, $\theta/\Delta = 0.01$.

то формулы (47) и (48) можно записать следующим образом:

$$\sigma_{xx1} = \frac{A\mu^2 a_H}{\hbar^4 v_F^4} \left(1 + \frac{4\pi^2 \mu \theta a_H^2}{\hbar^2 v_F^2} \sum_{\kappa=1}^{\infty} \kappa \operatorname{sh}^{-1} \left(\frac{2\pi^2 \mu \theta \kappa a_H^2}{\hbar^2 v_F^2} \right) \times \cos \left[\frac{\pi \kappa a_H^2}{\hbar^2 v_F^2} (\mu^2 - \Delta^2) \right] \right), \quad (49)$$

$$\sigma_{xx2} = \frac{2A\mu^2 a_H}{\hbar^4 v_F^4} \left(1 + \frac{4\pi^2 \mu \theta a_H^2}{\hbar^2 v_F^2} \sum_{\kappa'=1}^{\infty} \kappa' \operatorname{sh}^{-1} \left(\frac{2\pi^2 \mu \theta \kappa' a_H^2}{\hbar^2 v_F^2} \right) \times \cos \left[\frac{\pi \kappa' a_H^2}{\hbar^2 v_F^2} (\mu^2 - \Delta^2) \right] \right) \times \sum_{\kappa=1}^{\infty} \exp \left(-\frac{2\pi \mu \alpha \kappa a_H^2}{\hbar^2 v_F^2} \right) \cos \left[\frac{\pi \kappa a_H^2}{\hbar^2 v_F^2} (\mu^2 - \Delta^2) \right]. \quad (50)$$

Подставив (49) и (50) в (36), получим

$$\sigma_{xx} = \frac{A\mu^2 a_H}{\hbar^4 v_F^4} \left(1 + \frac{4\pi^2 \mu \theta a_H^2}{\hbar^2 v_F^2} \sum_{\kappa'=1}^{\infty} \kappa' \operatorname{sh}^{-1} \left(\frac{2\pi^2 \mu \theta \kappa' a_H^2}{\hbar^2 v_F^2} \right) \times \cos \left[\frac{\pi \kappa' a_H^2}{\hbar^2 v_F^2} (\mu^2 - \Delta^2) \right] \right) \times \left(1 + 2 \sum_{\kappa=1}^{\infty} R_D(\kappa, a_H, \alpha) \cos \left[\frac{\pi \kappa a_H^2}{\hbar^2 v_F^2} (\mu^2 - \Delta^2) \right] \right), \quad (51)$$

где $R_D(\kappa, a_H, \alpha)$ — так называемый множитель Дингля, равный

$$R_D(\kappa, a_H, \alpha) = \exp \left(-\frac{2\pi \mu \alpha \kappa a_H^2}{\hbar^2 v_F^2} \right). \quad (52)$$

Если выполняется условие

$$\alpha > \frac{\hbar^2 v_F^2}{2\pi \mu a_H^2}, \quad (53)$$

то $R_D \ll 1$ и формулу (51) можно приближенно переписать

$$\sigma_{xx} = \frac{A\mu^2 a_H}{\hbar^4 v_F^4} \left(1 + \frac{4\pi^2 \mu \theta a_H^2}{\hbar^2 v_F^2} \sum_{\kappa=1}^{\infty} \kappa \operatorname{sh}^{-1} \left(\frac{2\pi^2 \mu \theta \kappa a_H^2}{\hbar^2 v_F^2} \right) \times \cos \left[\frac{\pi \kappa a_H^2}{\hbar^2 v_F^2} (\mu^2 - \Delta^2) \right] \right). \quad (54)$$

Если $\mu \sim 0.17$ eV и $\alpha \sim 10^{-3}$ eV, то условие (53) соответствует магнитным полям, для которых $H < 10$ Т. Как видно из (54), в случае, если выполняется условие (53), проводимость не зависит от α . На рис. 2 показана зависимость проводимости графена от индукции магнитного поля, построенная по формуле (54).

4. Заключение

В случае слабых магнитных полей, когда квантование не проявляется, магнитопроводимость σ_{xx} графена, как это видно из рис. 1 и формулы (24), уменьшается с ростом магнитного поля. Необходимо отметить, что формулы (22) и (23) перестают быть справедливыми для сильных магнитных полей, так как они получены на основе уравнений движения (7), которые, в свою очередь, решались итерациями по параметру v_F/c . Такой метод оправдан для малых H .

В сильных (квантующих) магнитных полях для графена, так же как и для вырожденных объемных полупроводников, имеют место осцилляции поперечной магнитопроводимости σ_{xx} , обусловленные немонотонной зависимостью плотности состояний от энергии и периодичные по обратному магнитному полю, причем период осцилляций составляет по порядку величины 8 Т^{-1} , что согласуется с результатами, полученными в [15,17,19]. Кроме того, период магнитных осцилляций не пропорционален μ , как в случае материалов с квадратичным законом дисперсии, а имеет более сложную зависимость от μ . Для щелевой модификации графена в случае $\mu \gg \theta$, как это видно из формулы (51), период осцилляций пропорционален разнице $\mu^2 - \Delta^2$. Таким образом, изменения величины Δ дают возможность управлять периодом осцилляций магнитопроводимости. Такой же результат получен и в [19]. Однако следует отметить, что если выполняется условие (53), то в выражение для проводимости не входит феноменологически введенная ширина уровней Ландау α . При этом осцилляции проводимости имеют место, если температура электронного газа удовлетворяет условию (26). Как показано выше, условия (26) и (53) выполняются для достаточно широкого интервала индукций магнитного поля. Условие (26) дает нижний предел порядка 0.01 Т. Условие (53) соответствует верхнему пределу для индукции магнитного поля порядка 10 Т. В [19] зависимость осцилляционной части проводимости от ширины уровней Ландау α в виде множителя Дингля остается при любых значениях индукции магнитного поля.

Список литературы

- [1] K.S. Novoselov, A.K. Geim, S.V. Morozov, D. Jiang, Y. Zhang, S.V. Dubonos, I.V. Grigorieva, A.A. Firsov. *Science* **306**, 666 (2004).
- [2] J. Milton Pereira Jr., P. Vasilopoulos, F.M. Peeters. *Appl. Phys. Lett.* **90**, 132 122 (2007).
- [3] Z. Chen, Y.-M. Lin, M.J. Rooks, P. Avouris. *Physica E* **40**, 228 (2007).
- [4] Y.Q. Wu, P.D. Ye, M.A. Capano, Y. Xuan, Y. Sui, M. Qi, J.A. Cooper, T. Shen, D. Pandey, G. Prakash, R. Reifengerger. *Appl. Phys. Lett.* **92**, 092 102 (2008).
- [5] A.H. Castro Neto, F. Guinea, N.M.R. Peres, K.S. Novoselov, A.K. Geim. *Rev. Mod. Phys.* **81**, 109 (2009).
- [6] S. Reich, J. Maultzsch, C. Thomsen, P. Ordejón. *Phys. Rev. B* **66**, 035 412 (2002).
- [7] P.R. Wallace. *Phys. Rev.* **71**, 622 (1947).
- [8] S.A. Mikhailov. *Phys. Rev. B* **79**, 241 309 (2009).
- [9] Д.В. Завьялов, С.В. Крючков, Э.В. Марчук. *ПЖТФ* **34** (21), 21 (2008).
- [10] Д.В. Завьялов, В.И. Конченков, С.В. Крючков. *ФТТ* **51**, 2033 (2009).
- [11] Д.В. Завьялов, В.И. Конченков, С.В. Крючков. *ФТТ* **52**, 746 (2010).
- [12] S.Y. Zhou, G.-H. Gweon, A.V. Fedorov, P.N. First, W.A. de Heer, D.-H. Lee, F. Guinea, A.H. Castro Neto, A. Lanzara. *Nature Mater.* **6**, 770 (2007).
- [13] A. Mattausch, O. Pankratov. *Phys. Rev. Lett.* **99**, 076 802 (2007).
- [14] E. McCann, V.I. Fal'ko. *Phys. Rev. Lett.* **96**, 086 805 (2006).
- [15] M. Tahir, K. Sabeeh. *Phys. Rev. B* **77**, 195 421 (2008).
- [16] X.-Z. Yan, C.S. Ting. *New J. Phys.* **11** (9), 093 026 (2009).
- [17] T. Shen, Y.Q. Wu, M.A. Capano, L.P. Rokhinson, L.W. Engel, P.D. Ye. *Appl. Phys. Lett.* **93**, 122 102 (2008).
- [18] J. Jobst, D. Waldmann, F. Speck, R. Hirner, D.K. Maude, T. Seyller, H.B. Weber. *Phys. Rev. B* **81**, 195 434 (2010).
- [19] S.G. Sharapov, V.P. Gusynin. *Phys. Rev. B* **71**, 125 124 (2005).
- [20] K.Y. Bliokh. *Phys. Lett. A* **344**, 127 (2005).
- [21] V.P. Gusynin, S.G. Sharapov, J.P. Carbotte. *J. Phys.: Cond. Matter* **19**, 026 222 (2007).
- [22] N.M.R. Peres, F. Guinea, A.H. Castro Neto. *Phys. Rev. B* **73**, 125 411 (2006).
- [23] V.P. Gusynin, S.G. Sharapov. *Phys. Rev. B* **73**, 245 411 (2006).
- [24] E. Adams, T. Holstein. *J. Phys. Chem. Solids* **10**, 254, (1959).
- [25] E.H. Hwang, S. Das Sarma. *Phys. Rev. B* **75**, 205 418 (2007).
- [26] Л.Д. Ландау, Е.М. Лифшиц. *Физическая кинетика*. Физматлит, М. (2001). 536 с.